

12

НАБЛЮДЕНИЕ ПРОСТРАНСТВЕННОГО $1/f$ ШУМА
В ЭКСПЕРИМЕНТАХ ПО РЕГИСТРАЦИИ α -ЧАСТИЦ ^{239}Pu
ТВЕРДОТЕЛЬНЫМИ ДЕТЕКТОРАМИ ЯДЕРНЫХ ТРЕКОВ

В.Д. Р у с о в, Т.Н. З е л е н ц о в а,
В.И. С в и р и д о в, М.Ю. С е м е н о в,
Ю.И. Л а з о в с к и й, Ю.Ф. Б а б и к о в а

Исходя из квантовомеханической теории $1/f$ шума Ханделя [1], согласно которой $1/f$ шум возникает из-за тормозного излучения мягких фотонов при рассеянии заряженных частиц на покоящемся заряде, и рассматривая вылет α -частицы из ядра как такой процесс рассеяния, авторы [2] исследовали статистику отсчетов при α -распаде источников $^{243}Am + ^{239}Pu + ^{241}Am + ^{244}Cm$ и ^{140}Cd . Показано в первых двух случаях присутствие $1/f$ компоненты для всех изотопов и во всех случаях появление лоренцевских флюктуаций, которые авторы [2] связывают с кооперативным эффектом (химической природы) самих источников, а не с процессом радиоактивного распада.

Интерпретацию результатов [2] нельзя считать удовлетворительной, т.к. в настоящее время на основе квантовой электродинамики получено строгое доказательство ошибочности универсальной теории Ханделя $1/f$ шума [3]. Однако экспериментальные результаты, полученные в [2], являются важными и требуют своего объяснения в теории радиоактивного распада, хотя усугубляют и без того запутанную ситуацию в понимании принципиальной физической природы $1/f$ шума [4, 5].

Мы считаем, что во многих спектрометрических экспериментах по определению статистики отсчетов ядерных частиц дополнительный шум в виде лоренцевской и $1/f$ составляющей не связан с процессом радиоактивного распада, а является своеобразным проявлением статистики регистрации множественных событий, описываемой специфическими классами обобщенных пуассоновских распределений. Это относится, в частности, к твердотельным детекторам ядерных треков (ТТДЯТ), для которых показано, что статистика регистрации заряженных частиц подчиняется дваждыслучайным пуассоновским распределениям [6, 7]. При этом можно показать, что спектральная энергетическая плотность флюктуаций интенсивности отсчетов в таких множественных процессах содержит одновременно как пуассоновскую компоненту, так и дополнительную составляющую, которая в определенных условиях принимает лоренцевский вид. На возможность появления спектра вида $1/f$ в дваждыслучайных пуассоновских процессах указали авторы [8] и проанализировали некоторые условия его возникновения.

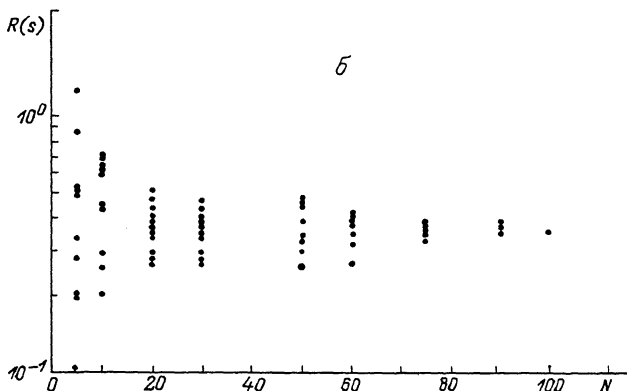
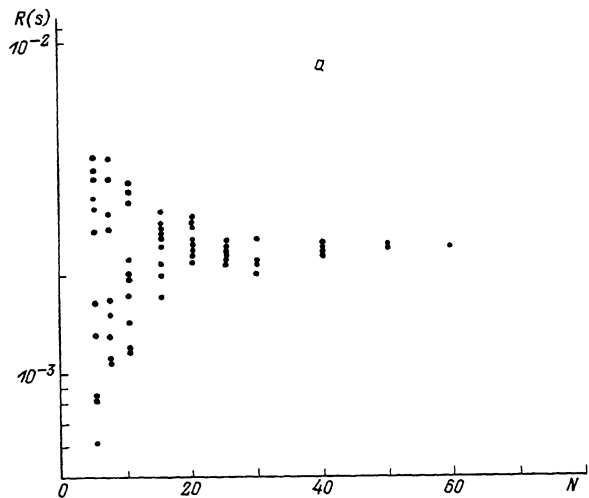


Рис. 1. Зависимость относительной дисперсии по Аллану от числа измерений для $s = 1.6 \cdot 10^3 \text{ мкм}^2$ (а) и $s = 9.2 \cdot 10^5 \text{ мкм}^2$ (б).

Указанные предпосылки стимулировали наше исследование статистики регистрации α -частиц ^{238}Pu и ^{239}Pu диэлектрическими трековыми детекторами в широком диапазоне пространственных частот с целью возможного наблюдения шума со спектром лоренцевского и $1/f$ типа.

Для изучения „тонкой структуры“ статистики отсчетов (треков) в ТТДЯТ нами, как и в [2], использовалась концепция теоремы

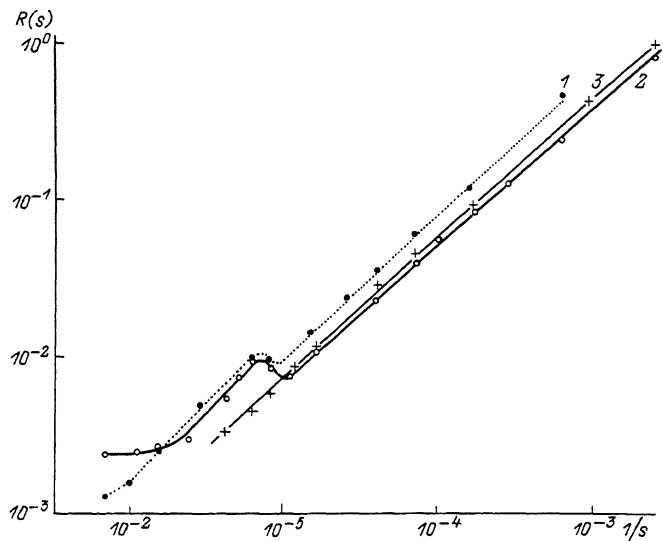


Рис. 2. Зависимость относительной дисперсии по Аллану от $1/s$ для α -источников ^{238}Pu (1), ^{239}Pu (2) и теоретическая кривая (3) для источника ^{239}Pu при малых значениях s , рассчитанная по формуле (8).

для дисперсии по Аллану, которая связывает между собой дисперсию Аллана числа отсчетов $S_{MS}^{A_2}$ со спектральной плотностью скорости счета. Однако в наших расчетах по формальной аналогии вместо скорости счета использовалась интенсивность отсчетов I (трек/мкм²), а вместо времени измерения – площадь текущего измерения s (мкм²).

Предположим, что спектральная плотность интенсивности треков $S_I(\omega)$ содержит пуассоновскую, лоренцевскую и $1/f$ компоненты шума, т.е.

$$S_I(\omega) = 2I_0 + 4B \frac{\gamma}{\gamma^2 + \omega^2} + \frac{2\pi C}{|\omega|}, \quad (1)$$

где C , B и γ – константы.

Тогда, используя теорему для дисперсии по Аллану, получим следующее выражение относительной дисперсии числа отсчетов по Аллану

$$R(s) = \frac{S_{MS}^{A_2}}{\langle M_S \rangle^2} = \frac{1}{I_0 s} + \frac{B}{I_0 s^2 \gamma^2} (4 \exp(-\gamma s) - \exp(-2\gamma s) + 2\gamma s - 3) + \frac{2C \ln 2}{I_0^2}, \quad (2)$$

где $M_s = I_0 s$ – число треков, зарегистрированных квадратным чувствительным слоем детектора площадью s .

Асимптотика выражения (2) очевидна: при малых s относительная дисперсия $R(s) \sim 1/s$, а при больших s возможны два случая:

$$R(s) = \frac{1}{I_0 s} + \frac{2B}{3I_0} \gamma s + 2C \frac{\ln 2}{I_0^2}, \quad \gamma s \ll 1, \quad (3)$$

$$R(s) = \frac{1}{I_0 s} + \frac{2B}{\gamma I_0^2 s} + 2C \frac{\ln 2}{I_0^2}, \quad \gamma s \gg 1. \quad (4)$$

Заметим, что постоянный параметр α фликкер-шума (если он есть) проявляется при $s \rightarrow \infty$ т.е.

$$R(\infty) = \alpha = 2C \frac{\ln 2}{I_0^2}. \quad (5)$$

В наших экспериментах α -частицы образцовых спектрометрических плоских источников ^{238}Pu (нормально падающий поток в вакууме 10^{-3} торр) и ^{239}Pu (изотропный поток, плотный контакт) регистрировали диэлектрическим трековым детектором *Манда*. Время экспозиции в обоих случаях составляло 30 мин, а обработка – травление в 6 н. растворе NaOH при температуре 70°C в течение 5 час.

Как и в [2], дисперсия числа отсчетов подсчитывалась по формуле:

$$\sigma_{M_s}^2 = \frac{1}{2(N-1)} \sum_{i=1}^{N-1} [M_s^{(i)} - M_s^{(i+1)}]^2, \quad \langle M_s \rangle = \frac{1}{N} \sum M_s^{(i)}, \quad (6)$$

где N – число измерений в данной выборке.

Для определения наиболее представительной выборки исследовали конвергенцию $R(s)$ в зависимости от N для всех s . Результаты такой обработки представлены на рис. 1, ¹ из которого очевидна достаточность длины выборки $N = 100$ для всех измерений.

На рис. 2 приведены экспериментальные зависимости $R(s)$ от $1/s$, где отчетливо наблюдается лоренцевский шум, а для случая статистики регистрации α -частиц ^{239}Pu и шум $1/f$ типа. Причем численное значение параметра фликкер-шума $\alpha = R(\infty) = 2.4 \cdot 10^{-3}$ с хорошей точностью совпадает с известным в исследованиях по $1/f$ шуму параметром Хоухе ($2 \cdot 10^{-3}$). Поведение $R(s)$ хорошо согласуется с (3)–(5), но не совпадает при малых

¹ Следует отметить, что эти графики сильно напоминают бифуркационные диаграммы катастрофы типа сборки (от двух управляющих параметров $R(s)$ и N).

значениях s , т.к. дисперсия числа отсчетов в дваждыслучайных пуассоновских процессах всегда больше пуассоновской дисперсии с таким же средним числом событий и при малых значениях зависит еще и от эффективного размера детектора $d = \sqrt{s}$ [7]:

$$\lim_{s \rightarrow 0} \frac{\sigma^2}{M_s} \sim (1 + \alpha_1) \langle M_s \rangle, \text{ где } \alpha_1 = \begin{cases} \langle \varepsilon \rangle \frac{d(3R_n - d)}{3R_n^2} & \text{при } \frac{d}{R_n} \leq 1 \\ \langle \varepsilon \rangle \frac{3d - R_n}{3d} & \text{при } \frac{d}{R_n} \geq 1 \end{cases}; \quad (7)$$

$\langle \varepsilon \rangle$ – эффективность регистрации ДТД; R_n – средний проективный пробег частиц в ДТД.

Учитывая полученные значения параметров $\langle \varepsilon \rangle = 0.36$ и $R_n = 20 \text{ мкм}$ [9] для случая регистрации α -частиц ^{239}Pu ДТД МАНДи, легко определить по формуле (7) численные значения α_1 при различных s . На рис. 2 приведена теоретическая зависимость относительной дисперсии числа отсчетов по Аллану при малых s :

$$\lim_{s \rightarrow 0} R(s) \sim [1 + \alpha_1(R_n, \langle \varepsilon \rangle, d)] / \langle M_s \rangle, \quad (8)$$

которая показывает хорошее согласие с экспериментальной зависимостью $R(s)$ от $1/s$.

Кроме важности собственно самого факта наблюдения фликкер-шума, следует отметить, что анализ результатов исследования пространственного дополнительного шума в экспериментах по регистрации α -частиц ДТД выявил неожиданный и интересный практический аспект, связанный с оценкой точности экспериментальных данных и имеющий актуальное значение для задач по определению флюенса частиц (особенно в дозиметрии): традиционное применение статистической погрешности (дисперсии) числа отсчетов треков в количественных исследованиях, вследствие обнаруженной „тонкой структуры“ статистики регистрации заряженных частиц ТГДЯТ, справедливо лишь при малых s .

Авторы выражают глубокую признательность С.П. Третьяковой (ОИЯИ) за помощь при облучении образцов.

Список литературы

- [1] Handel P.H. // Phys. Rev. A. 1980. V. 22. N 6. P. 745–752.
- [2] Koussik G.S., Gong J., Van Vilet C.M. et al. // Can. J. Phys. 1987. V. 65. N 4. P. 365–375.
- [3] Kiss L.B., Hessler P. // J. Phys. C: Solid State Phys. 1986. V. 19. P. L 631–L 633.

- [4] Б о ч к о в Г.Н., К у з о в л е в Ю.Е. // УФН. 1983.
Т. 141. В. 1. С. 151-176.
- [5] В а н д е р З и л А. // ТИИЭР: Пер. с англ. 1988.
Т. 76. № 3. С. 28-57.
- [6] Р у с о в В.Д., З е л е н ц о в а Т.Н., Г р е ч а н В.И.
и др. // Ядерная физика. 1985. Т. 42. № 12. С. 1349-1353.
- [7] R u s o v V.D., Z e l e n t s o v a T.N., S e-
m i o n o v M.Yu. et al. // Isotopenpraxis. 1987.
V. 23. N 11. P. 417-420.
- [8] G r ü n e i s F., B a i t e r H a n s - J. //
Physica. 1986. V. A 136. N 2-3. P. 432-452.
- [9] З е л е н ц о в а Т.Н. Автореф. канд. дис., М.: МИФИ,
1987. 24 с.

Одесский государственный
университет им. И.И. Мечникова

Поступило в Редакцию
2 февраля 1989 г.
В окончательной редакции
26 июня 1989 г.